

Cleopatra Gherbanovschi**Nicolae Gherbanovschi**

FIZICĂ

manual pentru clasa a XII-a

F1

- filiera teoretică, profil real,
specializarea matematică-informatică și științe ale naturii
- filiera vocatională, profil militar MApN,
specializarea matematică-informatică



NICULESCU

1. Teoria relativității restrânse

1.1. Bazele experimentale ale teoriei relativității restrânse	4
1.1.1. Relativitatea clasică	4
1.1.2. Experimentul Michelson și Morley ...	6
1.2. Postulatele teoriei relativității restrânse.	
Transformările Lorentz	9
1.3. Elemente de cinematică și dinamică relativistă	12
1.3.1. Cinematica relativistă. Consecințele cinematice ale transformărilor Lorentz	12
1.3.2. Compunerea vitezelor	15
1.3.3. Prinzipiul fundamental al dinamicii	17
1.3.4. Relația masă-energie	19

2. Elemente de fizică cuantică

2.1. Efectul fotoelectric extern	28
2.1.1. Legile efectului fotoelectric extern ..	28
2.1.2. Interpretarea legilor efectului fotoelectric extern	30
2.1.3. Ipoteza lui Planck. Ipoteza lui Einstein. Ecuația lui Einstein	31
2.1.4. Aplicații ale dispozitivelor optoelectronice	34
2.2. Efectul Compton*	35
2.3. Dualismul undă-corpuscul	39
2.4. Ipoteza de Broglie. Difracția electronilor.	
Aplicații	40

3. Fizică atomică

3.1. Spectre	48
3.1.1. Spectroscopul cu prismă	48
3.2. Experimentul Rutherford.	
Modelul planetar al atomului	51
3.2.1. Experimentul Rutherford	51

* Teme destinate claselor cu 3 ore pe săptămână la disciplina Fizică.

3.2.2. Modelul planetar al atomului	52
3.3. Modelul Bohr	54
3.3.1. Cuantificarea distanțelor electronului față de nucleu (r_n), a vitezelor lui pe orbita circulară (v_n), a impulsului (p_n) și a energiei totale (E_n)	56
3.3.2. Seriile spectrale ale hidrogenului și ale atomilor hidrogenoizi	59
3.4. Experimentul Franck-Hertz	62
3.5. Atomul cu mai mulți electroni*	63
3.6. Radiațiile X	66
3.7. Efectul LASER*	68

4. Semiconductoare. Aplicații în electronică

4.1. Conducția electrică în metale.	
Semiconductoare intrinseci și extrinseci	76
4.1.1. Semiconductoare intrinseci	79
4.1.2. Semiconductoare extrinseci	80
4.2. Dioda semiconductoare.	
Redresarea curentului alternativ	82
4.2.1. Joncțiunea $p-n$ nepolarizată	82
4.2.2. Dioda semiconductoare.	
Definiție și proprietăți electrice generale	83
4.2.3. Fenomene fizice în dioda semiconductoare în regim de conducție	88
4.2.4. Redresarea curentului alternativ	90
4.2.5. Redresorul monoalternanță	91
4.2.6. Redresorul dublă alternanță	93
4.2.7. Redresoare cu multiplicare de tensiune	95
4.2.8. Stabilizator de tensiune cu diodă Zener	96
4.3. Tranzistorul cu efect de câmp (TEC)*	99

4.3.1. Tranzistorul cu efect de câmp cu jonețuni (<i>TEC-J</i>)*	100
4.3.2. Tranzistoare cu efect de câmp (TEC) cu poartă izolată*	102
4.3.3. Polarizarea pentru TEC în montaj amplificator*	106
4.3.4. Tranzistorul bipolar cu jonețuni p-n* ¹⁰⁸	
4.4. Circuite integrate*	111
 5. Fizică nucleară	
5.1. Proprietăți generale ale nucleului	118
5.2. Energia de legătură a nucleului.	
Stabilitatea nucleului	120
5.2.1. Forțe nucleare. Energia de legătură a nucleului	120
5.2.2. Stabilitatea nucleului	122
5.2.3. Modelarea structurii nucleului	123
5.3. Radioactivitatea. Legile dezintegrării radioactive	125
5.3.1. Radioactivitatea naturală	125
5.3.2. Legile dezintegrării radioactive	127
5.3.3. Reacții nucleare	130
5.3.4. Legi de conservare în reacțiile nucleare	132
5.4. Interacția radiației nucleare cu substanța.	
Detecția radiațiilor nucleare. Dozimetrie ...	137
5.4.1. Radiații formate din particule încărcate electric	137
5.4.2. Interacția radiațiilor formate din particule neutre cu substanța	139
5.4.3. Detecția radiațiilor nucleare	141
5.4.4. Dozimetrie	144
5.4.5. Iradierea naturală și iradierea artificială	146
5.5. Fisiunea nucleară. Reactorul nuclear	150
5.5.1. Fisiunea	150
5.5.2. Reacția în lanț. Masa critică	151
5.5.3. Reactorul nuclear	153
5.6. Fuziunea nucleară	158
5.6.1. Fuziunea	158
5.6.2. Reactorul cu fuziune	159
5.7. Acceleratoare de particule*	161
5.7.1. Acceleratorul liniar cu electroni de accelerare (LINAC)*	161
5.7.2. Betatronul*	163
5.7.3. Ciclotronul*	166
5.8. Particule elementare*	169
5.8.1. Interacțiile fundamentale*	169
5.8.2. Caracteristicile comune ale particulelor elementare*	171
5.8.3. Scurt istoric*	174
5.8.4. Radiația cosmică*	176
5.8.5. Radiația cosmică de fond*	177
 Anexe	
Sistemul periodic al elementelor	184
Proprietățile particulelor elementare	190
Conștante atomice uzuale	192
Prezentarea biografică a unor fizicieni laureați ai Premiului Nobel, menționați în manual	193
Indicații și răspunsuri	200
Bibliografie	206

* Teme destinate claselor cu 3 ore pe săptămână la disciplina Fizică.



- 1.1. Bazele experimentale ale teoriei relativității restrânse
 - 1.1.1. Relativitatea clasică
 - 1.1.2. Experiența lui Michelson și Morley
- 1.2. Postulatele teoriei relativității restrânse.
Transformările Lorentz
- 1.3. Elemente de cinematică și dinamică relativistă
 - 1.3.1. Cinematica relativistă. Consecințele cinematice ale transformărilor Lorentz
 - 1.3.2. Compunerea vitezelor
 - 1.3.3. Prinzipiul fundamental al dinamicii
 - 1.3.4. Relația masă-energie

Unele lecții pot fi asistate de calculator folosind site-ul:
<http://science.howstuffworks.com/relativity.htm>

Teoria relativității restrânse

1.1. Bazele experimentale ale teoriei relativității restrânse

1.1.1. Relativitatea clasică

În teoria relativității clasice *toate sistemele de referință inerțiale (SRI) sunt echivalente între ele în raport cu fenomenele mecanice*. După cum știm din clasa IX-a, acest fapt se exprimă în cadrul teoriei respective prin aceea că ecuațiile mecanicii clasice sunt *invariante*, adică rămân neschimbate față de transformările Galilei (TG).

Reamintim că prin transformările Galilei se înțelege grupul de relații de transformare a mărimilor cinematice (coordonate, viteze, accelerării), care caracterizează mișcările particulelor, la trecerea dintr-un SRI (sistem de referință inerțial) în altul¹ în cadrul relativității clasice.

Se consideră două SRI (fig. 1.1) notate cu S și S' . Orientarea axelor este aleasă, spre simplificare, astfel încât vectorul \vec{V} care definește mișcarea uniformă a lui S' în raport cu S să fie orientat în lungul axei Ox comune, $\vec{V}(V, 0, 0)$; atunci TG se retranscriu în următoarele forme particulare (s-a ales ca origine a timpului momentul când O' trece prin O):

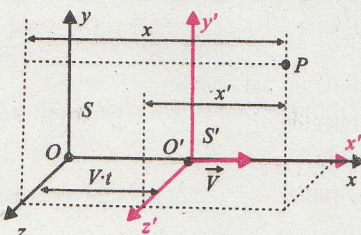


Fig. 1.1. Două sisteme de referință inerțiale S și S' .

$$\begin{aligned} r &= \vec{r}' + \vec{V} \cdot t \\ t &= t' \end{aligned} \quad \left\{ \begin{array}{l} x = x + Vt \\ y = y' \\ z = z' \\ t = t' \end{array} \right. \quad (1.1)$$

respectiv:

$$\bar{v} = \bar{v}' + \vec{V} \quad \left\{ \begin{array}{l} v_x = v'_x + V \\ v_y = v'_y \\ v_z = v'_z; \end{array} \right.$$

¹ În manualul de clasa a IX-a, \bar{v} era viteza absolută notată cu \bar{v}_a , \bar{v}' – viteza relativă notată cu \bar{v}_r – și \vec{V} – viteza de transport notată cu \bar{v}_v .

Odată cu apariția teoriei electromagnetismului, elaborată de J.C. Maxwell în anul 1863, s-a constatat că legile de bază ale fenomenelor electromagnetice nu sunt invariante față de transformările Galilei, fapt susținut prin următorul argument experimental.

Să considerăm două SRI notate cu S și S' , cu axele paralele, S' mișcându-se față de S cu viteza $\vec{V}(V, 0, 0)$; ca în figura 1.1. O sursă de lumină (în electromagnetism numită undă electromagnetică transversală), aflată în repaus în S , emite în vid un semnal luminos care se propagă cu viteza $v = c$ în lungul axei Ox .

Viteza semnalului luminos față de S' ar trebui să fie calculată cu relația de transformare galileeană $v_x = v'_x + V$ având forma $c' = c - V$. Experiențele de tipul celor ale lui Michelson și Morley, din anul 1887, au arătat însă că viteza semnalului luminos față de S' este tot c , adică $c' = c$.

Pentru a înlătura, în termeni relativiști clasici, contradicția între electrodinamică și mecanică, la sfârșitul secolului XIX au fost concepute două teorii care presupuneau că:

- fenomenele electromagnetice au loc într-un mediu deosebit, numit eter universal, care umple tot spațiul inclusiv interiorul corpurilor;
- la descrierea fenomenelor electromagnetice trebuie considerat, ca sistem de referință, eterul universal.

1. Prima teorie, cea a lui Heinrich Hertz, afirma că eterul universal este total antrenat de corpurile în mișcare astfel că viteza de propagare a luminii în vid este aceeași față de orice corp, indiferent de sensul de mișcare uniformă a acestuia. Teoria lui Hertz rămânea însă în cadrul concepției clasice newtoniene despre spațiu și timp. Ca atare, Hertz a trebuit să rescrie legile câmpului electromagnetic într-o astfel de formă încât, aplicând transformările lui Galilei, formularea lor să fie aceeași în toate sistemele de referință inerțiale.

2. A doua teorie, formulată de Lorentz în anul 1904, presupune că eterul este imobil, constituind un sistem de referință deosebit, preferențial, în care legile electromagnetismului au forma dată de Maxwell (în anul 1863). Astfel, numai în acest sistem viteza luminii în vid are valoarea:

$$c = \frac{1}{\sqrt{\epsilon_0 \mu_0}} = 3 \cdot 10^8 \text{ m/s},$$

aceeași în toate direcțiile.

Fizica experimentală trebuia să decidă care dintre aceste două teorii era valabilă.

În continuare se va descrie un experiment cu un rol crucial în elaborarea teoriei relativității einsteiniene.

1.1.2. Experimentul Michelson și Morley

Respect pentru oameni și cărți

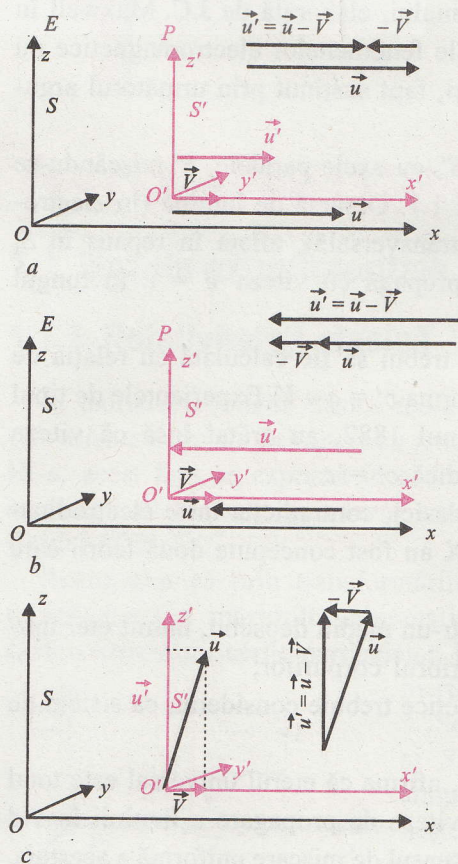


Fig. 1.2. Cele trei cazuri de compunere a vitezelor pentru înțelegerea experienței lui Michelson și Morley.

În cazul 3, lumina care se propagă în sistemul S' pe direcția $O'z'$ are viteza $\vec{u}' = \vec{u} - \vec{V}$ și în modul (fig. 1.2, c):

$$u' = \sqrt{c^2 - V^2} = c \sqrt{1 - \frac{V^2}{c^2}}.$$

Pentru a pune în evidență aceste viteze diferite de propagare a luminii pe direcții diferite față de Pământ, pentru a dovedi mișcarea Pământului față de mediul ipotetic aflat în repaus – suport material al propagării luminii – numit eter, Michelson și Morley au folosit un interferometru. Schema instalației experi-

¹ S-a folosit pentru scrierea relației de compunere a vitezelor a lui Galilei, $\vec{v} = \vec{v}' + \vec{V}$ relația scrisă cu simbolurile folosite de Michelson, adică \vec{u} pentru \vec{v} și \vec{u}' pentru \vec{v}' .

Pentru început este necesar să efectuăm câteva calcule referitoare la raționamentele pe care s-a bazat experiența fizicianului american A. A. Michelson (laureatul Premiului nobel pentru fizică – 1907), realizată în anul 1881 și reluată în 1887 împreună cu E. W. Morley.

Dacă viteza luminii (\vec{u}) are o anumită valoare față de sistemul de referință absolut – eterul –, atunci, față de Pământ, sistem considerat că se deplasează cu viteza de translație \vec{V} față de „eter”, viteza luminii (\vec{u}') va suferi mici variații care depind de sensul de deplasare a luminii și a Pământului în spațiul absolut, conform relației de compunere a vitezelor în mecanica clasică¹: $\vec{u} = \vec{u}' + \vec{V}$. Să considerăm sistemul de referință S legat de eter și sistemul S' , Pământul, care se deplasează cu viteza \vec{V} față de S pe direcția Ox (fig. 1.2, a), în trei cazuri:

În cazul 1, lumina care se propagă pe direcția Ox , de la O spre x , are în sistemul S viteza \vec{u} de modul c , iar în sistemul S' viteza $\vec{u}' = \vec{u} - \vec{V}$, de modul $u' = c - V$.

În cazul 2, lumina se deplasează pe direcția Ox , de la x la O , viteza de deplasare în sistemul O' este $\vec{u}' = \vec{u} - \vec{V}$ și în modul $u' = c + V$ (fig. 1.2, b).

mentale este redată în figura 1.3, a. Experiența se face în trei etape, în felul următor: se aşază interferometrul astfel încât brațul 1 să aibă orientarea în direcția și sensul mișcării orbitale a Pământului (fig. 1.3, b). Pe o porțiune mică de arc mișcarea se poate considera rectilinie și uniformă. Lumina parcurge brațul 1 la ducere cu viteza $c - V$ și la întoarcere cu viteza $c + V$, într-un timp total (cazurile 1 și 2):

$$t_1 = \frac{L}{c - V} + \frac{L}{c + V} = \frac{2L}{c \left(1 - \frac{V^2}{c^2}\right)}.$$

Lumina parcurge brațul 2, având aceeași lungime L , dispus perpendicular pe brațul 1, cu viteza $c\sqrt{1 - \frac{V^2}{c^2}}$,

aceeași și la ducere și la întoarcere, într-un timp total (cazul 3):

$$t_2 = \frac{2L}{c\sqrt{1 - \frac{V^2}{c^2}}}.$$

Cei doi timpi nu sunt egali ($t_1 > t_2$) și depind de V . Întrucât $c \gg V$, relațiile de mai sus se pot approxima:

$$t_1 = \frac{2L}{c}(1 - \beta^2)^{-1} = \frac{2L}{c}(1 + \beta^2);$$

$$t_2 = \frac{2L}{c}(1 - \beta^2)^{-\frac{1}{2}} = \frac{2L}{c} \left(1 + \frac{1}{2}\beta^2\right),$$

unde $\beta = \frac{V}{c}$.

Diferența între acești doi timpi este:

$$\Delta t = t_1 - t_2 = \frac{L}{c} \beta^2.$$

Acestei diferențe de timp îi corespunde o anumită diferență de fază și, ca urmare, apariția unei figuri de interferență. În câmpul lunetei de observare apărea

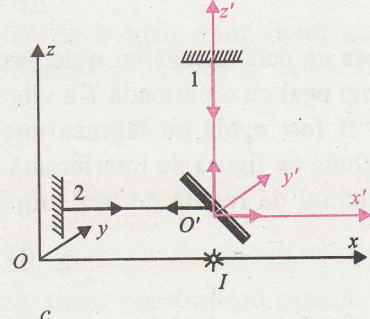
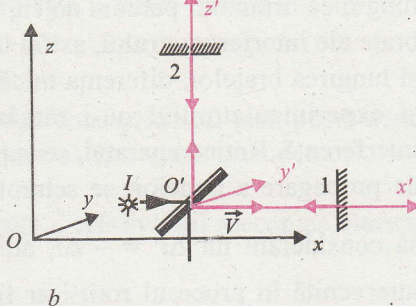
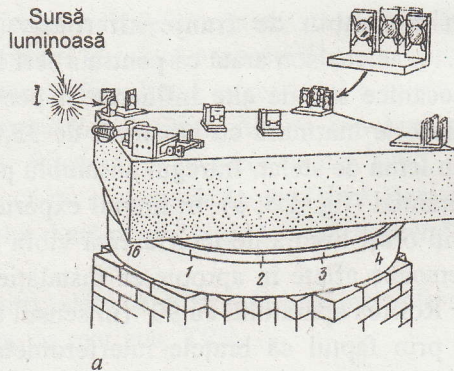


Fig. 1.3. Experiența lui Michelson și Morley.
a. Schema instalației experimentale.
b, c. Schemele de principiu pentru cele două etape ale experimentului.